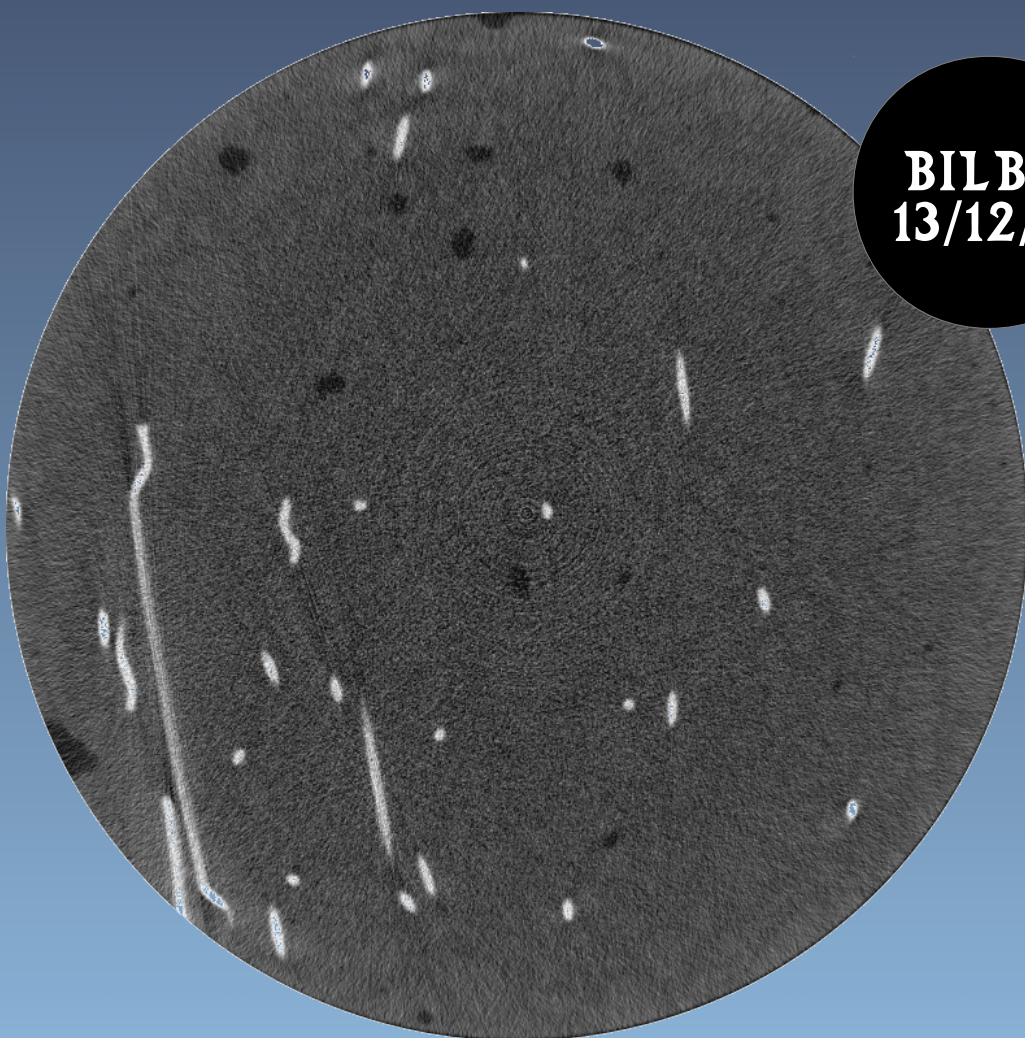


# ERRESISTENTZIA MODERATUKO OHIKO APLIKazioETAN ALTZAIrU ZUNTZEZ INDARTURIKO HORMIGOI AUTOTRINKOTZAILEAREN ERABILERAREN OPTIMIZAZIOA



## DOKTORE TESIA

---

EGILEA :

AIMAR ORBE MATEO

---

ZUZENDARIAK:

RAMÓN LOSADA RODRÍGUEZ  
EDUARDO ROJÍ CHANDRO

---



Universidad  
del País Vasco

Euskal Herriko  
Unibertsitatea



Ingeniaritza Goi Eskola Teknikoa  
Escuela Técnica Superior de Ingeniería  
Bilbao

### Doktore Tesia

# ERRESISTENTZIA MODERATUKO OHIKO APLIKAZIOETAN ALTZAIRU ZUNTZEZ INDARTURIKO HORMIGOI AUTOTRINKOTZAILEAREN ERABILERAREN OPTIMIZAZIOA

Aimar Orbe Mateo  
-k aurkeztua

Universidad del País Vasco  
Euskal Herriko Unibertsitateko  
Ingeniaritza Mekanikoa Sailean

Industri Ingeniari Doktore-Maila  
eskuratzeko

Ramon Losada Rodríguez Dr.  
Eduardo Rojí Chandro Dr.  
Jaunek zuzendua.

Bilbon, 2013ko Urria

Nire hiru neskei,  
tesi honek lapurtu didan denboragatik

Hizkuntza xaboiaren alderantzizkoa da:  
zenbat eta gehiago erabili xaboa,  
orduan eta urrituago eta xahutuago;  
hitzak, ordea, alderantziz,  
zenbat eta erabiliago orduan eta aberatsago.

Abdelfattah Kilito

No limits, Jonathan? he thought, and he smiled.  
His race to learn had begun.

*Jonathan Livingstone Seagull*  
Richard Bach

# Laburpena

Doktore Tesi honen helburua altzairu zuntz laburren egitura-ahalmenak planteatzean datza hormigoi matrizearen indartze gisa, arrunki AZIH deitua, baldintza zehatzetan materialaren zenbait alderdi hobetzen dituzten propietate autotrinkotzaileak emateko aukerarekin bat, Altzairu Zuntzez Indarturiko Hormigoi Autotrinkotzailea (AZIHAT) deritzona sortuz, dokumentu honetan egiaztatzen diren ezaugarri eta propietateei esker.

Asmo horretarako eta ezagutzen ditugun beste esperientzia batzuek ez bezala, neurri handiko horma tartea (6 metroko luzera eta 3 metroko altuera) eraiki eta aztertzen da. Proposamen honek altzairu zuntzen antolamendua aztertu nahi du neurri handiko egitura-elementuaren baitan eta obrako baldintza errealen arabera eraikiz, materialaren portaera baldintzatzale posible guztiak kontuan izanik zehazteko, horietako zenbait ez baitira laborategiko ikerketetan agertzen.

Egitura osatzen duen materialaren ezaugarritze xehatuak, hormaren zati-keta dakar tamaina ezberdineko 380 laginetan, etorkizun handiko entsegu ez-suntsitsaile eta ohiko entsegu suntsitsaileetan erabiliko direlarik. Eremu bien artean ezartzen diren erlazioek, materiala kaltetu gabe eta zeharkako eran alderdi erresistenteen zehaztapena dakarte, egiturarengan kalitate kontrola gauzatzeko bide interesgarriak irekiz.

Ondorengo analisia osatzeko, lanen egikaritze aurretik zuntzek hormigoi masa barruan izango duten norabidea zehazteko metodologia ezartzen da. Jariakinen Dinamika Konputazionalaren bitartez egindako simulazioek, materialaren hondar erresistentzien balioztapena ahalbidetzen dute aurresaten den zuntzen orientazioari esker, puntu ahul edo hormigoitze prozesu ezegokiak aurretiaz detektatuz.

Amaiera gisa, proposatzen den euste andel zilindrikoaren erabileraren ekonomia eta ingurumen jasangarritasun alderaketa egiten da, batetik hormigoi arrunt eta bestetik AZIHAT-aren bitartez egikaritutako bi adibiderentzat. Sistema bakoitzak bere abantaila eta desabantailak ditu, baina AZIHAT-a egitura-diseinu konbentzionala baino ekonomiko eta jasangarriagoa izan daitekeela ondorioztatzen da.

Lan hauek, Universidad del País Vasco / Euskal Herriko Unibertsitatearen (UPV/EHU) barruko Ingeniaritza Mekanikoa Sailari atxikia dagoen Eraikuntza Ingeniaritza Jakintza Arloko ikerketan jardueren baitan burutu dira.

Aimar Orbe  
Industria Ingeniaria  
Bilbon, 2013ko Urria

# Abstract

The aim of this Doctoral Thesis, focuses on the structural possibilities of short steel fibres as reinforcement of the concrete matrices, commonly referred as SFRC, along with the ability to provide self-compacting properties, which improve certain aspects of the material, forming the called Steel Fibre Reinforced Self Compacting Concrete (SFRSCC), under certain conditions, thanks to the properties and features that have been described in this document.

Unlike most of the previous experiences we know, a large wall section (6 metres-high and 3 metres-long) is cast and analysed. This approach allows to study the orientation of the steel fibres within the large structural element, cast in real on-site conditions, to determine the behaviour of the material taking into account all possible conditionings, some of which are not present on laboratory researches.

The exhaustive characterization of the material that composes the structure requires extracting 380 specimens of different sizes from the wall, which undergo promising non-destructive tests and more common destructive ones. The correlations established between both fields, allow to determine strength issues indirectly and without damaging the material, establishing new interesting avenues for developing quality control methods on the structure itself.

To complement the analysis, a methodology to determine the fibre orientation within the concrete matrix prior to the casting is established. Computational Fluid Dynamics simulations allow also the establishment of a set of estimations regarding the residual strength of the material, from the predicted fibre orientation, detecting weaknesses or inadequate casting processes.

In the culmination, a economical and environmental sustainability comparative study is performed, for the proposed retaining cylindrical tank, designed with conventional reinforced concrete on one hand and the SFRSCC on the other. Each system has its own advantages and disadvantages, but SRFSCC can be equal or even, more economical and sustainable than a conventional structure design.

This work has been carried out within the research activities of the Construction Engineering knowledge area attached to the Mechanical Engineering Department of the University of the Basque Country (UPV/EHU).

Aimar Orbe  
Industrial Engineer  
Bilbao, October 2013

# Eskertzak

Lehendabizi nire Doktore tesi honen zuzendari biak eskertu nahi nituzke, Ramón eta Eduardo, lanaldi luze honetan erakutsi didaten laguntza eta pazientziagatik. Zuzen bideratu nauzue behar nuenean adoretuz eta erotzen nintzenean eutsiz.

Nire esker onak ere adierazi nahiko nizkieke, hurbiltasunaren arabera: Jesus, beti laguntzeko prest egoteagatik; Tomas, aholkulari paregabea izateagatik; Mikel eta Fran, egunerokotasunean tirabirarik gabe eta aldarte oneko burbuila bat sortzearen; Raul, erabili ditudan ehunka probeten hautsaz nirekin zikintzeagatik; Ingeniaritza Mekanikoa Saileko nire gainontzeko lankideei (Aitor, Unai, Mikel, Yokasta, Pedro, Ciprian, Gheorghe, etab.); Komunikazio Ingeniaritza Sailekoak (Amaia, Iván eta Àlvaro, AZIHAT-ean zehar seinaleek duten ahultzearen ikerketa paraleloaren ekarprena eginez) eta orokorrean, Bilboko IGET-eko lankide guztiei.

Era berean, David, Leire, Josu, Pello, Jesùs, Bengo eta Tecnaliako beste profesionalen lankidetza eskertzen dut, emandako laguntza teknikoa eta lankide bikainak izateagatik.

Ezin ahaztu Universitat Politècnica de Catalunya-ko (UPC) kideak, Antonio, Albert, Pau, Ana eta Josep Maria, lehenengo bultzada, hasierako jakintzak eta lan nekez honi ekiteko tresnak emateagatik.

Aipatu beharra ditut Financiera y Minera (Italcementi Group) enoresako Jose Antonio Hurtado eta Santiago Beceiro profesional bikainak eta ArcelorMittal-eko (Wire Solutions) Javier Álamo, emandako laguntza tekniko eta materialagatik. Aldi berean, Bilbao Bizkaia Ur-Partzuergoko Carlos García Marcos eta Marcos Gregorioren adeitasuna eta interesa eskertu nahi nituzke.

Azterketa tomografikoa posible izan da Juan Manuel Manso eta Pedro Miguel Bravoren lankidetzari esker, Burgosko Unibertsitatearen (UBU) ordezkari gisa eta TAC 64 S.L. enpresari ere asko eskertzen diot.

Jariakinen Dinamika Konputazional tresna bidezko analisia, ezinezkoa litzateke Daniel Fuster eta Pieere Yves Lagrèe-ren (Institut Jean Le Rond D'Alembert UPMC) laguntza ordainezinagatik, Stephan Popinet (NIWA) eta orokorrean, Gerris programaren garatzaile komunitateari esker.

3Dslicer, Meshlab, Salomé, LibreOffice, Texmaker etab. programen gara-tzaileen ahaleginak ere eskertu behar ditut, ikerketa hau aurrera eramateko tresnak emateagatik.

Azkenik, ikerketa hau Zientzia eta Berrikuntza Ministerioak eta Bizkaiko Foru Aldundiak finantzatua izan da neurri batean, MIVES IV ref: BIA 2010-20789-C04-04 eta BIRGAITEK 7-12-TK-2009-10 proiektuen bitartez, hurrenez hurren, Doktore Tesi honen egileak bere eskerrik onenak adierazi nahi dizkielarik instituzio horiei. Horiekin batera, 2012 Uztailaren 4ko Aginduaren arabera, Eusko Jaurlaritzak onartutako **IT781-13 Ikerketa Taldeari** ere eskerrak agertu nahi dizkiot.

Ezin bukatu nire familia eta lagunak eskertu gabe eman didaten adoreagatik, baina hala ere, hau guztia ez litzateke posible izango gauero etxearen zain nituen irribarreak gabe.

# Aurkibide Orokorra

<b>Laburpena</b>	<b>iii</b>
<b>Abstract</b>	<b>vii</b>
<b>Eskertzak</b>	<b>xi</b>
<b>Aurkibide Orokorra</b>	<b>xv</b>
<hr/>	
<b>I Aurrekariak</b>	<b>1</b>
<b>1 Sarrera</b>	<b>3</b>
1.1 Tesiaren testuingurua . . . . .	3
1.2 Ikerketaren helburuak . . . . .	4
1.3 Metodologia eta prozedura . . . . .	5
1.4 Dokumentuaren egitura . . . . .	5
<hr/>	
<b>II Aldez aurreko ikerketak</b>	<b>9</b>
<b>2 Artearen Egoera</b>	<b>11</b>
2.1 Sarrera . . . . .	11
2.2 AZIH-aren ezaugarriak . . . . .	11
2.2.1 Zuntz motak . . . . .	14
2.2.2 AZIH-aren propietate mekanikoak . . . . .	15
2.2.3 Modelo Eratzaileak . . . . .	22
2.2.4 Kalitate kontrola . . . . .	25
2.3 HATaren ezaugarriak . . . . .	28
2.3.1 Diseinu metodoak . . . . .	30
2.3.2 HATaren erreología . . . . .	31
2.3.3 Ezaugarriak egoera freskoan . . . . .	33
2.4 Jariekinen dinamika komputazionala . . . . .	34
2.4.1 Jariakin ez Newtondarra . . . . .	36
2.5 Egitura-adibideak . . . . .	38
2.5.1 Fabrikazio eta obraratzea . . . . .	39
2.6 Azken ondorioak . . . . .	39
<hr/>	

<b>III Laborategiko entsegu kanpaina</b>	<b>41</b>
<b>3 AZIHAT-aren aukeraketa</b>	<b>43</b>
3.1 Sarrera . . . . .	43
3.2 Zuntz motaren aukeraketa . . . . .	43
3.2.1 Konfigurazio eta prozedura . . . . .	45
3.2.2 Erauzte emaitzak . . . . .	46
3.3 Hormigoiaren formulazioa . . . . .	47
3.3.1 Pasta zehaztea . . . . .	48
3.3.2 Ale-eskeletoaren optimizazioa . . . . .	49
3.3.3 Gehigarriak zehaztea . . . . .	50
3.3.4 Nahasketa prozedura . . . . .	53
3.3.5 Emaitzan onesprena . . . . .	53
3.4 Azken gogoetak . . . . .	54
<hr/>	
<b>IV Eskala errealeko entsegu kanpaina</b>	<b>55</b>
<b>4 Egitura elementuaren egikaritza</b>	<b>57</b>
4.1 Sarrera . . . . .	57
4.2 Plantako fabrikazioa estrapolatzea . . . . .	57
4.2.1 Hezetasun kontrola . . . . .	58
4.2.2 Prozedura eta nahasketa zikloak . . . . .	58
4.3 Hormaren prestaketa . . . . .	59
4.3.1 Enkofratua . . . . .	60
4.3.2 Hormigoitze prozedura . . . . .	60
4.3.3 Ontze prozesua . . . . .	61
4.4 Egitura elementuaren gaineko entseguak . . . . .	62
4.4.1 Ikusizko analisia . . . . .	62
4.4.2 Pultsu ultrasonikoak . . . . .	63
4.5 Laginen aukeraketa eta entseguak . . . . .	64
4.5.1 Egin beharreko entseguak . . . . .	64
4.5.2 Laginen tamaina . . . . .	65
4.5.3 Hormaren mozketa eskema . . . . .	65
4.6 Azken gogoetak . . . . .	68
<b>5 Entsegu ez-suntsitzaila (EES)</b>	<b>69</b>
5.1 Sarrera . . . . .	69
5.2 Pultsu ultrasonikoen abiadura . . . . .	69
5.2.1 Entseguaren prozedura . . . . .	70
5.2.2 Neurketen emaitzak . . . . .	72
5.3 Metodo Estereologikoak . . . . .	72
5.3.1 Ebaketa aurpegien azterketa . . . . .	72
5.3.2 Norabide faktorearen balioztapena . . . . .	75
5.4 Metodo magnetikoak . . . . .	76
5.4.1 Entseguaren konfigurazioa . . . . .	76
5.4.2 Legin kubikoen azterketa . . . . .	77
5.4.3 Legin prismaticoien azterketa . . . . .	83
5.4.4 Zuntz zenbatekoaren balioztapena . . . . .	86

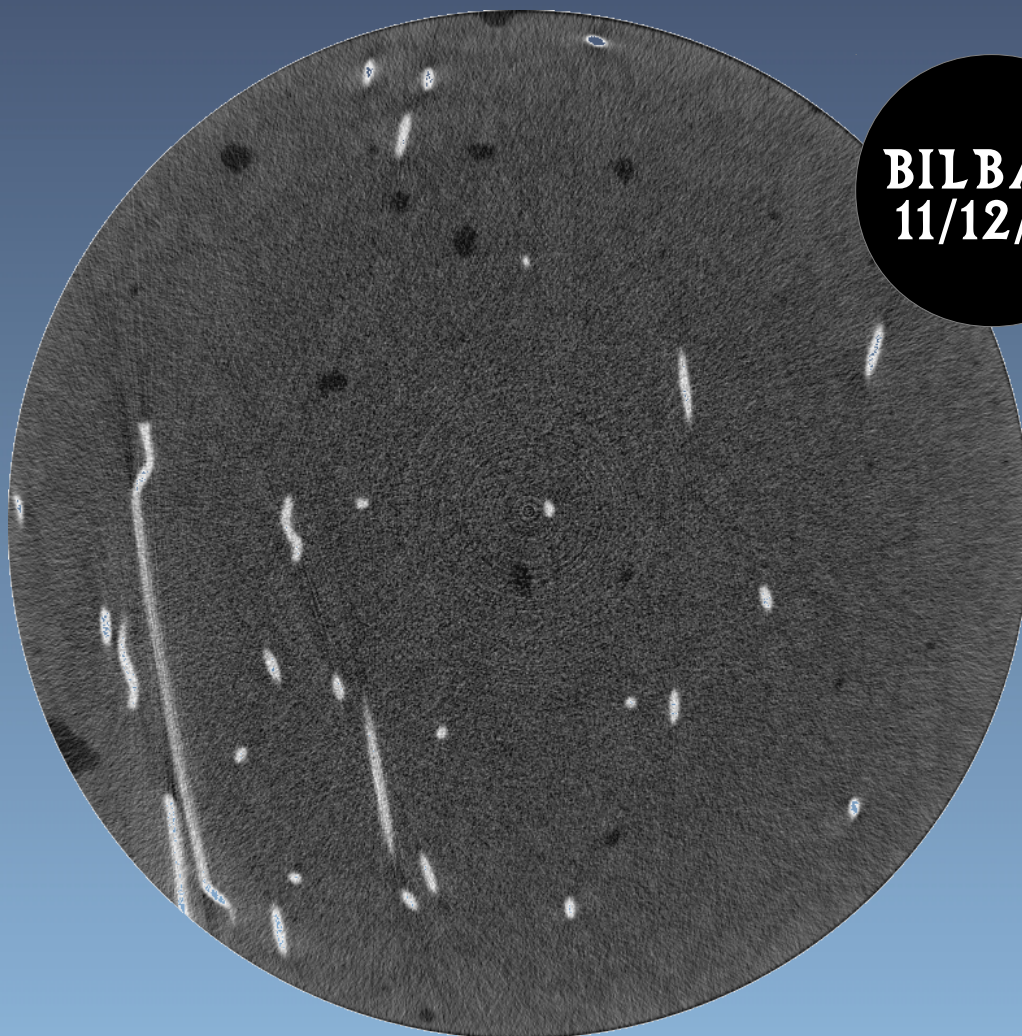
5.4.5	Norabide faktorearen balioztapena . . . . .	87
5.5	Ardatz-tomografia konputerizatua . . . . .	89
5.5.1	Azterketaren prozedura . . . . .	89
5.5.2	Lagin txikien emaitzak . . . . .	90
5.5.3	Lagin handien emaitzak . . . . .	90
5.5.4	Zuntz zenbatekoaren balioztapena . . . . .	92
5.5.5	Entsegu magnetikoen korrelazioa . . . . .	94
5.6	Seinaleen ahultzea . . . . .	94
5.7	Iragazkortasunaren zehaztapena . . . . .	95
5.7.1	Entseguauren prozedura . . . . .	96
5.7.2	Sartze emaitzak . . . . .	96
5.8	Azken gogoetak . . . . .	97
<b>6</b>	<b>Entsegu suntsitziaileak (ES)</b>	<b>99</b>
6.1	Sarrera . . . . .	99
6.2	Konpresio entseguak . . . . .	99
6.2.1	Laginen kokapena . . . . .	100
6.2.2	Konpresio emaitzak . . . . .	100
6.3	Bartzelona entsegua . . . . .	102
6.3.1	Entseguauren konfigurazioa . . . . .	102
6.3.2	Laginen kokapena . . . . .	103
6.3.3	Bartzelona entseguauren emaitzak . . . . .	103
6.4	Brasildar Entsegua . . . . .	107
6.4.1	Entseguauren konfigurazioa . . . . .	107
6.4.2	Brasildar entseguauren emaitzak . . . . .	109
6.5	Ebakitzairentseguak . . . . .	110
6.5.1	Entseguauren konfigurazioa . . . . .	110
6.5.2	Laginen kokapena . . . . .	110
6.5.3	Ebakitzairentseguauren emaitzak . . . . .	111
6.6	Flexotrukzio entseguak . . . . .	111
6.6.1	Entseguauren konfigurazioa . . . . .	112
6.6.2	Laginen kokapena . . . . .	112
6.6.3	Flexotrukzio entseguauren emaitzak . . . . .	113
6.7	Azken gogoetak . . . . .	129
<b>V</b>	<b>Orientazioaren aurreikuspena</b>	<b>133</b>
<b>7</b>	<b>CFD bidezko hormigoitzearen simulazioa</b>	<b>135</b>
7.1	Sarrera . . . . .	135
7.2	Navier-Stokes ekuazioen ebaezpena . . . . .	135
7.2.1	Erreologiala parametroak . . . . .	136
7.2.2	Modelo osoa . . . . .	143
7.3	Simulazioaren emaitzak . . . . .	145
7.3.1	Egiaztapen esperimentalak . . . . .	146
7.3.2	Erresistentziaren aurreikuspena . . . . .	150
7.4	Materialaren lege eratzailearen aurreikuspena . . . . .	152
7.5	Azken gogoetak . . . . .	153

<b>VI Kasu praktikoen aplikazioa</b>	<b>157</b>
<b>8 Euste andel zilindrikoak</b>	<b>159</b>
8.1 Sarrera . . . . .	159
8.2 Erabilera adibideak . . . . .	160
8.2.1 Neurri, armatu eta materialak . . . . .	160
8.3 Azterketa kasua . . . . .	164
8.3.1 Produktuaren kostua . . . . .	167
8.3.2 Epeen murrizketa . . . . .	171
8.4 Jasangarritasun indizea . . . . .	171
8.4.1 Zementuaren optimizazio indizea . . . . .	174
8.4.2 Agregakinaren optimizazioaren ingurumen irizpidea. . . . .	175
8.4.3 Nahasketa uraren optimizazioaren ingurumen irizpidea. . . . .	176
8.4.4 Gehigarri erabileraren optimizazioaren ingurumen irizpidea. . . . .	177
8.4.5 Armatuaren optimizazioaren ingurumen irizpidea. . . . .	178
8.4.6 Inpaktu kontrolaren ingurumen irizpidea. . . . .	181
8.4.7 Egikaritze epearri buruzko ingurumen irizpidea. . . . .	181
8.4.8 Materialen kontrolari dagokion ingurumen irizpidea. . . . .	183
8.4.9 Azterketa kasuen arteko alderaketa. . . . .	184
8.5 Azken gogoetak . . . . .	185
<b>VII Amaierako ondorioak</b>	<b>189</b>
<b>9 Ondorioak eta etorkizuneko aukerak</b>	<b>191</b>
9.1 Ondorioak . . . . .	191
9.2 Ikerketa ildo berriak . . . . .	196
<b>Erreferentziak</b>	<b>199</b>
<b>EranskinaA Pultsu ultrasonikoen abiadura</b>	<b>213</b>
A.1 Neurketa osoa . . . . .	213
<b>EranskinaB Metodo magnetikoa</b>	<b>227</b>
B.1 Metodo magnetikoaren emaitza osoak . . . . .	227
<b>EranskinaC Flexotrazkio entseguak</b>	<b>237</b>
C.1 Emaitza eta diagramak . . . . .	237
<b>EranskinaD Simulazio konputazionalak</b>	<b>305</b>
D.1 BML biskometroarekiko alderaketa . . . . .	305
<b>Taulen Aurkibidea</b>	<b>307</b>
<b>Irudien Aurkibidea</b>	<b>309</b>

<b>Notazioak eta akronimoak</b>	<b>313</b>
<b>Argitalpenak</b>	<b>319</b>

# ERRESISTENTZIA MODERATUKO OHIKO APLIKazioETAN ALTZAIRU ZUNTZEZ INDARTURIKO HORMIGOI AUTOTRINKOTZAILEAREN ERABILERAREN OPTIMIZAZIOA

(Optimización del Uso de Hormigones Autocompactantes Reforzados con  
Fibras de Acero en Aplicaciones Convencionales de Resistencias Moderadas)



BILBAO  
11/12/13

## DOKTORE TESIA / TESIS DOCTORAL

EGILEA / AUTOR: AIMAR ORBE MATEO

ZUZENDARIAK / DIRECTORES: RAMÓN LOSADA RODRÍGUEZ  
EDUARDO ROJÍ CHANDRO



## Tesis Doctoral

# ERRESISTENTZIA MODERATUKO OHIKO APLIKAZIOETAN ALTZAIRU ZUNTZEZ INDARTURIKO HORMIGOI AUTOTRINKOTZAILEAREN ERABILERAREN OPTIMIZAZIOA

(Optimización del uso de Hormigones Autocompactantes Reforzados con Fibras de Acero en Aplicaciones Convencionales de Resistencias Moderadas)

Presentada por  
**Aimar Orbe Mateo**

Para la obtención del grado de  
**Doctor Ingeniero Industrial**

por la  
**Universidad del País Vasco /**  
**Euskal Herriko Unibertsitateko**  
en el  
**Departamento de Ingeniería Mecánica**

Dirigido por:  
**Dr. D. Ramon Losada Rodríguez**  
**Dr. D. Eduardo Rojí Chandro**

Bilbao, Octubre de 2013

Nire hiru neskei,  
tesi honek lapurtu didan denboragatik

Hizkuntza xaboiaren alderantzizkoa da:  
zenbat eta gehiago erabili xaboa,  
orduan eta urrituago eta xahutuago;  
hitzak, ordea, alderantziz,  
zenbat eta erabiliago orduan eta aberatsago.

Abdelfattah Kilito

No limits, Jonathan? he thought, and he smiled.  
His race to learn had begun.

*Jonathan Livingstone Seagull*  
Richard Bach

# Resumen

El objetivo de la presente tesis doctoral, se centra en plantear las posibilidades estructurales de fibras cortas de acero como refuerzo de la matriz de hormigón, habitualmente denominado HRFA, junto con la posibilidad de proporcionarle propiedades autocompactantes, que mejoren ciertos aspectos del material, formando el denominado Hormigón Autocompactante Reforzado con Fibras de Acero (HACRFA), en determinadas condiciones, gracias a las propiedades y características que se han atestiguado en este documento.

Para tal fin y a diferencia de la mayoría de las experiencias anteriores que conocemos, se construye y analiza un tramo de muro de gran envergadura (3 metros de alto y 6 metros de largo). Este planteamiento permite estudiar la disposición de las fibras de acero dentro de un elemento estructural de gran tamaño y ejecutado en condiciones reales de obra, para determinar el comportamiento del material teniendo en cuenta todos los condicionantes posibles, algunos de los cuales no están presentes en las investigaciones de laboratorio.

La exhaustiva caracterización del material que compone la estructura, conlleva la división del muro en 380 probetas de diversos tamaños que se someten a prometedores ensayos no destructivos y a los habituales ensayos destructivos. Las correlaciones establecidas entre ambos campos, posibilitan la determinación de aspectos resistentes de forma indirecta y sin dañar el material, estableciendo nuevas vías para un interesante control de calidad sobre la propia estructura.

Para complementar el análisis a posteriori, se establece una metodología para determinar de manera previa a la ejecución de los trabajos la orientación de las fibras dentro de la masa de hormigón. Las simulaciones realizadas por medio de la Dinámica Computacional de Fluídos, permiten además establecer una serie de estimaciones de las resistencias residuales del material a partir de la orientación de las fibras prevista, detectando a priori puntos débiles o inadecuados procesos de hormigonado.

Como colofón se realiza una comparativa económica y sostenibilidad medioambiental entre la aplicación a depósitos de contención cilíndricos propuesta, ejecutada por un lado mediante un hormigón convencional y el HACRFA por el otro. Cada sistema presenta sus ventajas y desventajas pero se concluye que el HACRFA puede resultar igual o más económico y sostenible, que un diseño estructural convencional.

Estos trabajos se enmarcan dentro de las investigaciones desarrolladas por el Área de Conocimiento de Ingeniería de la Construcción adscrito al Departamento de Ingeniería Mecánica de la Universidad del País Vasco / Euskal Herriko Unibertsitatea (UPV/EHU).

Aimar Orbe  
Ingeniero Industrial  
Bilbao, Octubre de 2013.

# Agradecimientos

Quisiera agradecer primeramente a los directores de la presente Tesis Doctoral, Ramón y Eduardo, por la ayuda y paciencia que me han mostrado durante este largo periodo de trabajo. Me habéis conducido correctamente alentándome cuando más lo necesitaba y frenándome cuando me desbocaba.

También quiero expresar mi gratitud, mencionándolos por orden de cercanía: a Jesús, por estar siempre dispuesto a echarme una mano (o dos, o tres, o las que hagan falta); a Tomás, por ser un consejero inestimable; a Mikel y Fran por crear una burbuja de distensión y humor en medio del ajetreo cotidiano; a Raúl por mancharse conmigo con el polvo de los cientos de probetas que he manejado, al resto de mis compañeros de trabajo en el Departamento de Ingeniería Mecánica (Aitor, Unai, Mikel, Yokasta, Pedro, Ciprian, Gheorghe, etc.), del Departamento de Ingeniería de Comunicaciones (Amaia, Iván y Álvaro que han contribuido con un estudio paralelo de las señales atenuadas por el HACRFA) y, en general, de la ETSI de Bilbao.

Así mismo, aprecio la colaboración de David, Leire, Josu, Pello, Jesús, Benito y demás profesionales de Tecnalía, por el apoyo técnico prestado, además de ser excelentes compañeros.

De igual manera, debo agradecer a los colegas de la Universitat Politècnica de Catalunya (UPC), Antonio, Albert, Pau, Ana y Josep María, por haberme dado ese primer empujón, los conocimientos iniciales y herramientas para proceder con esta ardua labor.

No puedo dejar de mencionar a José Antonio Hurtado y Santiago Beceiro, excelentes profesionales de Financiera y Minera (Italcementi Group), así como a Javier Álamo de ArcelorMittal (Wire-Solutions), por la ayuda técnica y material prestada. Al mismo tiempo, quiero agradecer la amabilidad e interés de Carlos García Marcos y Marcos Gregorio del Consorcio de Aguas Bilbao-Bizkaia.

El estudio tomográfico ha resultado posible gracias a la colaboración de Juan Manuel Manso y Pedro Miguel Bravo en representación de la Universidad de Burgos (UBU), así como de la empresa TAC 64 S.L. a los que estoy muy agradecido.

El análisis mediante herramientas de Dinámica Computacional de Fluidos (CFD), no hubiese sido posible sin la inestimable ayuda de Daniel Fuster y Pie-

rre Yves Lagréé (Institut Jean Le Rond D'Alembert UPMC), Stephan Popinet (NIWA) y, en general, de la comunidad de desarrolladores del programa Gerris.

También debo agradecer el esfuerzo de los desarrolladores de los programas de código abierto 3Dslicer, Meshlab, Salomé, LibreOffice, Texmaker, etc. por proporcionar herramientas que han servido para desarrollar la presente investigación.

Por último. parte de esta investigación ha sido financiada por los proyectos MIVES IV ref: BIA 2010-20789-C04-04 otorgado por el Ministerio de Ciencia e Innovación y BIRGAITEK 7-12-TK-2009-10 de la Diputación Foral de Bizkaia, así como agradecer al **Grupo de Investigación IT781-13** financiado por el Gobierno Vasco, por lo que el autor de la presente Tesis Doctoral muestra su más profundo agradecimiento a dichas instituciones.

No puedo pasar sin agradecer a mi familia y amigos el apoyo prestado, pero sin embargo, todo esto no hubiese sido posible sin las sonrisas que cada noche me esperaban en casa.

# Indice General

<b>Resumen</b>	<b>III</b>
<b>Abstract</b>	<b>VII</b>
<b>Agradecimientos</b>	<b>XI</b>
<b>Indice General</b>	<b>xv</b>
<hr/>	
<b>I      Antecedentes</b>	<b>1</b>
<b>1    Introducción</b>	<b>3</b>
1.1. Ámbito de la investigación . . . . .	3
1.2. Objetivos de la investigación . . . . .	5
1.3. Metodología y procedimiento . . . . .	5
1.4. Estructura del documento . . . . .	6
<hr/>	
<b>II     Estudios preliminares</b>	<b>9</b>
<b>2    Estado del Arte</b>	<b>11</b>
2.1. Introducción . . . . .	11
2.2. Características del HRFA . . . . .	12
2.2.1. Tipos de fibras . . . . .	14
2.2.2. Propiedades mecánicas del HRFA . . . . .	15
2.2.3. Modelos constitutivos . . . . .	23
2.2.4. Control de calidad . . . . .	26
2.3. Características del HAC . . . . .	30
2.3.1. Métodos de diseño . . . . .	31
2.3.2. Reología del HAC . . . . .	33
2.3.3. Requisitos en estado fresco . . . . .	34
2.4. Dinámica de fluidos computacional . . . . .	36
2.4.1. Fluidos no Newtonianos . . . . .	38
2.5. Aplicaciones estructurales . . . . .	39
2.5.1. Fabricación y puesta en obra . . . . .	40
2.6. Conclusiones finales . . . . .	41
<hr/>	

<b>III Campaña experimental en laboratorio</b>	<b>45</b>
<b>3 Selección del HACRFA</b>	<b>47</b>
3.1. Introducción . . . . .	47
3.2. Elección del tipo de fibra . . . . .	47
3.2.1. Configuración y procedimiento . . . . .	49
3.2.2. Resultados de arrancamiento . . . . .	50
3.3. Formulación del hormigón . . . . .	51
3.3.1. Determinación de la pasta . . . . .	53
3.3.2. Optimización del esqueleto granular . . . . .	54
3.3.3. Determinación de aditivos . . . . .	55
3.3.4. Procedimiento de mezcla . . . . .	57
3.3.5. Validación de resultados . . . . .	57
3.4. Consideraciones finales . . . . .	58
<hr/>	
<b>IV Campaña experimental a escala real</b>	<b>61</b>
<b>4 Ejecución del elemento estructural</b>	<b>63</b>
4.1. Introducción . . . . .	63
4.2. Extrapolación a la fabricación en planta . . . . .	63
4.2.1. Control de humedad . . . . .	64
4.2.2. Procedimiento y ciclos de amasado . . . . .	64
4.3. Preparación del muro . . . . .	65
4.3.1. Encofrado . . . . .	66
4.3.2. Procedimiento de hormigonado . . . . .	67
4.3.3. Proceso de curado . . . . .	68
4.4. Ensayos sobre el elemento estructural . . . . .	68
4.4.1. Análisis Visual . . . . .	69
4.4.2. Impulsos ultrasónicos . . . . .	70
4.5. Selección de probetas y ensayos . . . . .	71
4.5.1. Ensayos a realizar . . . . .	71
4.5.2. Tamaño de probetas . . . . .	71
4.5.3. Esquema de corte del muro . . . . .	72
4.6. Consideraciones finales . . . . .	72
<b>5 Ensayos no destructivos (END)</b>	<b>77</b>
5.1. Introducción . . . . .	77
5.2. Velocidad de impulsos ultrasónicos . . . . .	77
5.2.1. Procedimiento del ensayo . . . . .	78
5.2.2. Resultados de las mediciones . . . . .	80
5.3. Métodos estereológicos . . . . .	80
5.3.1. Análisis de las caras de corte . . . . .	83
5.3.2. Estimación del factor de orientación . . . . .	83
5.4. Métodos magnéticos . . . . .	84
5.4.1. Configuración del ensayo . . . . .	85
5.4.2. Análisis de las probetas cúbicas . . . . .	85
5.4.3. Análisis de las probetas prismáticas . . . . .	92
5.4.4. Estimación de la densidad de fibras . . . . .	94

5.4.5. Estimación del factor de orientación . . . . .	95
5.5. Tomografía axial computerizada . . . . .	97
5.5.1. Procedimiento del estudio . . . . .	98
5.5.2. Resultados en probetas pequeñas . . . . .	98
5.5.3. Resultados en probetas grandes . . . . .	99
5.5.4. Estimación de la densidad de fibras . . . . .	99
5.5.5. Correlación con ensayos magnéticos . . . . .	101
5.6. Atenuación de señales . . . . .	103
5.7. Determinación de la permeabilidad . . . . .	104
5.7.1. Procedimiento del ensayo . . . . .	105
5.7.2. Resultados de penetración . . . . .	105
5.8. Consideraciones finales . . . . .	106
<b>6 Ensayos destructivos (ED)</b>	<b>107</b>
6.1. Introducción . . . . .	107
6.2. Ensayo de compresión . . . . .	107
6.2.1. Ubicación de las probetas . . . . .	108
6.2.2. Resultados de compresión . . . . .	108
6.3. Ensayo Barcelona . . . . .	110
6.3.1. Configuración del ensayo . . . . .	110
6.3.2. Ubicación de las probetas . . . . .	111
6.3.3. Resultados del ensayo Barcelona . . . . .	112
6.4. Ensayo Brasileño . . . . .	117
6.4.1. Configuración del ensayo . . . . .	117
6.4.2. Resultados del ensayo brasileño . . . . .	118
6.5. Ensayo a cortante . . . . .	118
6.5.1. Configuración del ensayo . . . . .	118
6.5.2. Ubicación de las probetas . . . . .	118
6.5.3. Resultados del ensayo a cortante . . . . .	119
6.6. Ensayo a flexotracción . . . . .	120
6.6.1. Configuración del ensayo . . . . .	120
6.6.2. Ubicación de las probetas . . . . .	121
6.6.3. Resultados del ensayo a flexotracción . . . . .	121
6.7. Consideraciones finales . . . . .	139
<b>V Predicción de la orientación</b>	<b>141</b>
<b>7 Simulación de hormigonado mediante CFD</b>	<b>143</b>
7.1. Introducción . . . . .	143
7.2. Resolución de ecuaciones de Navier-Stokes . . . . .	143
7.2.1. Parámetros reológicos . . . . .	144
7.2.2. Modelo completo . . . . .	151
7.3. Resultados de la simulación . . . . .	154
7.3.1. Contrastación experimental . . . . .	155
7.3.2. Predicción de resistencias . . . . .	157
7.4. Predicción de la ley constitutiva del material . . . . .	161
7.5. Consideraciones finales . . . . .	162

---

---

<b>VI Aplicación a casos prácticos</b>	<b>165</b>
<b>8 Depósitos circulares de contención</b>	<b>167</b>
8.1. Introducción . . . . .	167
8.2. Ejemplos de la aplicación . . . . .	168
8.2.1. Dimensiones, armados y materiales . . . . .	170
8.3. Caso de estudio . . . . .	173
8.3.1. Coste del producto . . . . .	176
8.3.2. Reducción de plazos . . . . .	179
8.4. Índice de sostenibilidad . . . . .	180
8.4.1. Criterio medioambiental de optimización del cemento.	182
8.4.2. Criterio medioambiental de optimización de los áridos.	183
8.4.3. Criterio medioambiental de optimización del agua de amasado. . . . .	185
8.4.4. Criterio medioambiental de optimización del uso de aditivos. . . . .	186
8.4.5. Criterio medioambiental de optimización del armado. .	187
8.4.6. Criterio medioambiental de control de los impactos. .	190
8.4.7. Criterio medioambiental relativo al plazo de construcción.	191
8.4.8. Criterio medioambiental relativo al control del material.	193
8.4.9. Comparativa entre ambos casos de estudio. . . . .	194
8.5. Consideraciones finales . . . . .	194
<b>VII Conclusiones finales</b>	<b>197</b>
<b>9 Conclusiones y perspectivas futuras</b>	<b>199</b>
9.1. Conclusiones . . . . .	199
9.2. Nuevas líneas de investigación . . . . .	205
<b>Referencias</b>	<b>207</b>
<b>ApéndiceA Velocidad de impulsos ultrasónicos</b>	<b>221</b>
A.1. Mediciones completas . . . . .	221
<b>ApéndiceB Método magnético</b>	<b>237</b>
B.1. Resultados completos del método magnético . . . . .	237
<b>ApéndiceC Ensayos a flexotracción</b>	<b>247</b>
C.1. Resultados y diagramas . . . . .	247
<b>ApéndiceD Simulaciones computacionales</b>	<b>315</b>
D.1. Comparativa respecto al viscosímetro BML . . . . .	315
<b>Indice de Tablas</b>	<b>317</b>
<b>Indice de Figuras</b>	<b>319</b>

---

<b>Notaciones y Acrónimos</b>	<b>323</b>
<b>Publicaciones</b>	<b>329</b>

